



سنجش از دور و GIS ایران



سنجش از دور و GIS ایران
سال پنجم، شماره یکم، بهار ۱۳۹۲
Vol.5, No.1, Spring 2013
Iranian Remote Sensing & GIS

۸۵-۹۶

تغییرات برخی از پارامترهای مورفولوژیکی رودخانه کارون با استفاده از سنجش از دور (سال‌های ۱۳۶۸ و ۱۳۸۴)

صالح یوسفی^۱، مهدی وفاخواه^{*}^۲، سمیه میرزابی^۳، شهلا توانگر^۴

۱. دانشجوی دکتری گروه آبخیزداری، دانشکده منابع طبیعی، دانشگاه تربیت مدرس
۲. استادیار گروه آبخیزداری، دانشکده منابع طبیعی، دانشگاه تربیت مدرس
۳. دانشجوی کارشناسی ارشد گروه آبخیزداری، دانشکده منابع طبیعی، دانشگاه لرستان
۴. دانشجوی کارشناسی ارشد گروه آبخیزداری، دانشکده منابع طبیعی، دانشگاه تربیت مدرس

تاریخ پذیرش مقاله: ۱۳۹۲/۴/۳

تاریخ دریافت مقاله: ۱۳۹۰/۸/۱

چکیده

مناندرها از شاخص‌های مهم تغییرات محیطی به شمار می‌آیند. تحقیق حاضر به منظور بررسی تغییرات برخی از پارامترهای مناندر در رودخانه کارون با استفاده از تصاویر ماهواره لندهست سال‌های ۱۳۶۸ و ۱۳۸۴ به کمک سنجش از دور صورت گرفته است. در این تحقیق پارامترهای مورفولوژیکی ۲۰ مناندر در بازه‌ای به طول ۱۲۸ کیلومتر از رودخانه کارون پس از تهیه نقشه کاربری اراضی برای هر دوره تغییرن گردید. نتایج حاصل از مقایس میانگین Δ جفتی نشان داد که پارامترهای عرض جریان و طول گردن مناندر اختلاف معنی‌داری طی دوره مطالعاتی از خود نشان داده‌اند. نتایج همبستگی اسپیرمن حاکی از آن بود که تغییرات در پارامترهای مناندر بهشت به یکدیگر وابسته‌اند؛ به طوری که همبستگی معنی‌داری بین تغییرات ضریب خمیدگی با شاعان اتحنا، طول جریان و طول محور مناندر و نیز میان تغییرات شاعان اتحنا با طول جریان، طول محور مناندر، طول گردن مناندر و عرض جریان وجود دارد. از سوی دیگر همبستگی معنی‌داری بین تغییرات عرض جریان با پارامترهای طول جریان و طول محور مناندر و طول جریان با محور مناندر مشاهده می‌شود. از دلایل اصلی تغییرات پارامترهای موردنظر می‌تواند تغییر در رژیم هیدرولوژیکی و اکولوژیکی منطقه باشد، به طوری که در طی دوره مطالعاتی، حریم رودخانه در اثر تجاوز افراد به منظور کشاورزی و تصاحب زمین به دشت تغییر یافته و دچار آسیب شده است.

کلیدواژه‌ها: مناندر، سنجش از دور، فرسایش رودخانه، ضریب خمیدگی، شاعان اتحنا، رودخانه، رودخانه کارون.

*نویسنده مکاتبه‌کننده: دانشگاه تربیت مدرس، دانشکده منابع طبیعی، گروه آبخیزداری

Email: yafakhah@modares.ac.ir

۱- مقدمه

حالات شریانی مستقیم به مئاندری ضعیف تغییر شکل داده است. تیمر (۲۰۰۳) با بررسی روش‌های کنترل تغییرات رودخانه‌های پیچان رویی بروی رودخانه تیسرا^۱ نتیجه گرفت که پیچان رویی شدن رودخانه به شدت تحت تأثیر موقعیت گسل‌ها و فرونژست‌های غیرعادی قرار دارد. چو و همکاران (۲۰۰۶) در مطالعه‌ای بر روی رودخانه زرد در چین با استفاده از تصاویر ماهواره‌ای و سنجش از دور، مناطق دارای بیشترین فرسایش و تغییر را شناسایی کردند. الرو (۲۰۱۰) در مطالعه‌ای بر روی رودخانه ابرو^۲ در اسپانیا به بررسی تغییرات مورفولوژیکی و مهاجرت رودخانه طی ۸۰ سال پرداخت. نتایج مطالعه‌ی نیشان داد که در طول دوره مورد مطالعه این رودخانه تغییرات زیادی کرده و در برخی مناطق، رودخانه تا بیشتر از ۷ کیلومتر جایه‌جا شده است. از محققان دیگری که در این زمینه تحقیق کرده‌اند می‌توان به اربیلا را و همکاران (۲۰۰۳)، نیکول و هیکین (۲۰۱۰) و ماقالنو و فرناندز (۲۰۰۵) - یوست (۲۰۱۱) اشاره کرد. فرخی و همکاران (۲۰۰۵) با بررسی تغییرات پلان رودخانه درز با استفاده از سنجش از دور و GIS نتیجه گرفتند که رودخانه بیشتر از الگوی پیچان رویی تبعیت می‌کند و سواحل آن جایه‌جایی زیادی داشته است. ارشد و همکاران (۲۰۰۸) روند تغییرات مورفولوژی رودخانه کارون را براساس چهار سری تصاویر ماهواره IRS و Landsat بررسی کردند و به این نتیجه رسیدند که خصوصیات قوس‌ها در حال تغییر است و تراکم و اندازه انحنای قوس‌ها به سمت پایین دست جایه‌جا شده است. رضایی مقدم و خوشدل (۲۰۰۹)، در مطالعه‌ای در آذربایجان شرقی به بررسی پیچ و خم‌های مئاندر اهرچای پرداختند و دریافتند که بیشترین درصد مئاندر مربوط به مئاندرهای دارای ضریب خمیدگی بالای ۱/۵ است. آنها علت اصلی تغییرات مئاندر را طی دهه‌های اخیر، تعریض

مئاندرها چشم‌اندازهای بسیار زیبا در حوضه‌های آبخیز هستند که در اثر عوامل مختلفی تشکیل می‌گردند. مئاندرها از اشکال مهم ژئومورفولوژیکی - هیدرولوژیکی هستند و با جایه‌جایی‌های مکانی ای که در محدوده دشت‌های سیلابی انجام می‌دهند ابعاد مورفولوژیکی بستر جریان رودخانه و دشت‌های سیلابی را تغییر می‌دهند. این پدیده‌ها به علت پویایی زیادی که دارند، مسائل و مشکلات عمده‌ای را نیز در محدوده‌های تشکیل به وجود می‌آورند (بیات خطیبی، ۲۰۱۱؛ عمران و همکاران، ۱۹۹۹). مئاندرها که از شاخص‌های مهم تغییرات محیطی و از نشانه‌های بارز وقوع تحول در بستر جریان آب‌ها به شمار می‌آینند، عامل بروز تغییرات حیاتی در بستر جریان رودخانه قلمداد می‌شوند (دای و همکاران، ۲۰۰۸). تغییر در میزان بار رسوی، شیب، اقلیم، ایجاد سد و بندها و همچنین دخالت و تجاوز بشر در حریم رودخانه و تغییر کاربری اراضی اطراف رودخانه می‌تواند زمینه را برای تشکیل مئاندرها در مسیر جریان رودخانه فراهم سازد (لوفتوس و روبرت، ۲۰۰۸، لاغاس و همکاران، ۲۰۰۴؛ بروکا و همکاران، ۲۰۰۶؛ کامپورال و ریدولفی، ۲۰۱۰). تغییر در پارامترهای مئاندر می‌تواند بر اثر تغییرات انسان‌ساخت، تغییر در رژیم هیدرولوژی رودخانه، تغییرات اکولوژیکی و یا ناشی از ژئومورفولوژی منطقه باشد (الرو و پلیسیر، ۱۹۹۱؛ کابزاں و همکاران، ۲۰۰۸). تغییرات در پارامترهای مئاندر از جنبه‌های مختلفی نظیر شهرسازی، سدسازی، فرسایش و رسوب، و جاده‌سازی دارای اهمیت است (کروساوتو، ۲۰۰۹؛ هئو و همکاران، ۲۰۰۹). در مورد تغییرات پارامترهای مئاندر و عوامل مؤثر بر این تغییرات، مطالعات زیادی - بهویژه در خارج از کشور - صورت گرفته است که در ادامه به تعدادی از آنها اشاره می‌شود. یانگ و همکاران (۱۹۹۹) در مطالعه‌ای به آشکارسازی تغییرات خط ساحلی دلتای رودخانه زرد چین با استفاده از تصاویر ماهواره‌ای پرداختند. نتایج مطالعه مذکور نشان داد که رودخانه از

1. Tisza
2. Ebro

تغییرات برخی از پارامترهای مورفولوژیکی رودخانه کارون با استفاده از سنجش از دور (سال‌های ۱۳۶۸ و ۱۳۸۴)

مئاندری کشور قلمداد می‌شود - صورت گرفته است.

۲- مواد و روش‌ها

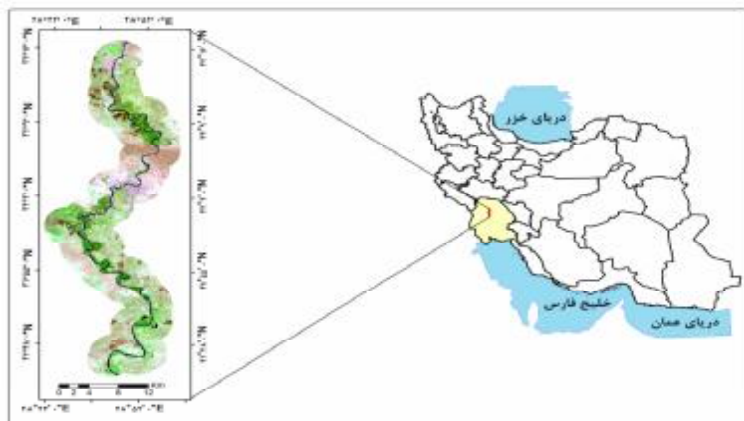
۱-۲- خصوصیات منطقه تحقیق

منطقه مورد مطالعه بازه‌ای از رودخانه کارون است که در طول جغرافیایی $۲۷^{\circ} ۴۷' ۴۸''$ تا $۵۲^{\circ} ۴۰'$ شرقی و عرض $۳۱^{\circ} ۴۵' ۰۳''$ تا $۳۲^{\circ} ۴۵' ۱۶''$ شمالی قرار گرفته است. ابتدای بازه مطالعاتی بعد از سد گتوند و انتهای بازه چندین کیلومتر بعد از شهر شوستر است. در تحقیق حاضر تا فاصله ۳ کیلومتر از رودخانه مورد بررسی قرار گرفته است. مساحت محدوده مطالعاتی ۵۰۹۷۵ هکتار است، که شهرهای شوستر و گتوند را نیز پوشش می‌دهد (شکل ۱).

۲- داده‌های مورد استفاده

در پژوهش‌های حاضر از تصاویر سنجنده‌های TM و ETM+ ماهواره Landsat، سوم خرداد سال ۱۳۶۸ و پانزدهم خرداد ۱۳۸۴ و همچنین نقشه توپوگرافی ۱:۵۰۰۰۰ چاپ سازمان جغرافیایی نیروهای مسلح کشور استفاده شد.

افراد بومی به حریم رودخانه برشمردند. مقصودی و همکاران (۲۰۱۰) در مطالعه‌ای بر روی روند تغییرات الگوی مورفولوژی رودخانه خرم‌آباد با استفاده از RS و GIS بیان کردند که تعداد مئاندرها طی دوره مطالعاتی افزایش یافته است و علت اصلی این تغییرات را تغییر کاربری اراضی منطقه و دخل و تصرف انسان به رودخانه دانستند. از دیگر پژوهش‌گران ایرانی که در این زمینه تحقیق کرده‌اند می‌توان به احمدیان یزدی (۲۰۰۱)، یمانی و همکاران (۲۰۰۶)، محمدی استاد کلایه و همکاران (۲۰۰۷) رنگزن و همکاران (۲۰۰۸)، و بیاتی خطیبی (۲۰۱۱) نیز اشاره کرد. با آگاهی از میزان تغییرات در پارامترهای مئاندر در یک منطقه، می‌توان آینده مئاندر و رودخانه‌ها را پیش‌بینی کرد. همچنین مدیران حوضه آبخیز با شناخت بهتر تغییرات پارامترهای مئاندر - که معمولاً جزء رودخانه‌های مهم حوضه آبخیز به شمار می‌آیند - می‌توانند تصمیمات مدیریتی بهتر و بهینه‌ای برای کاهش خسارت‌های ناشی از تغییرات بگیرند. پژوهش حاضر به منظور بررسی تأثیر تغییر در برخی از پارامترهای مئاندر بر ویژگی‌های دیگر مئاندر در قسمتی از رودخانه کارون - که مهم‌ترین رودخانه



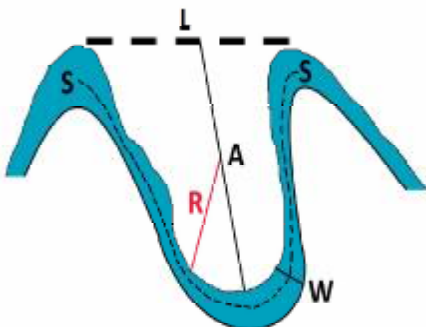
شکل ۱. موقعیت جغرافیایی منطقه مورد مطالعه

۳-۲- تصحیحات تصاویر

برای اعمال تصحیح هندسی بر روی تصاویر با استفاده از روش نقشه به تصویر، ۳۴ نقطه کنترل زمینی بر روی لایه‌های وکتوری جاده‌ها و آبراهه‌های مناطق کانالیزه شده که به دست انسان استخراج شده است از نقشه توپوگرافی انتخاب گردید و نقاط متناظر آنها بر روی تصویر تعیین شد (گیریراج و همکاران، ۲۰۰۸). تصاویر نیازی به تصحیح اتمسفری نداشتند و همسان‌سازی تصاویر نیز انجام گردید.

۲-۵- پارامترهای مئاندر

در طول بازه مطالعاتی ۲۰ مئاندر انتخاب گردید. اندازه پارامترهای شعاع انحنای^۵ (R)، عرض جریان^۶ (W)، طول جریان^۷ (S)، طول محور^۸ (A)، طول گردن مئاندر^۹ (L) و ضریب خمیدگی^{۱۰} (C) مئاندر با استفاده از رابطه $C=S/L$ (C=SL) (بین و همکاران، ۲۰۰۸) برای هر یک از مئاندرها در سال‌های ۱۳۶۸ و ۱۳۸۴ در محیط نرم‌افزار 2009 Arc GIS و AUTOCAD تهیه گردید.



شکل ۲. پارامترهای مئاندر

به منظور بررسی تغییرات پارامترهای مئاندر رودخانه مورد نظر، از آزمون t جفتی^{۱۱} و برای بررسی تأثیر تغییر پارامترهای مئاندر بر یکدیگر از همبستگی استفاده گردید (بی‌همتا و زارع چاهوکی، ۲۰۱۰).

۴-۲- تهیه نقشه‌های کاربری اراضی سال‌های ۱۳۸۴ و ۱۳۶۸

برای کاربری‌های موجود در منطقه با استفاده از بازدیدهای میدانی و دستگاه موقعیت‌یاب جهانی^۱ نمونه‌های تعلیمی برای هر کاربری تهیه گردید. نمونه‌های تعلیمی به دو دسته تقسیم‌بندی شدند؛ یکی برای استفاده در طبقه‌بندی و دیگری برای بررسی صحت طبقه‌بندی استفاده شد (پرمال و بهسکاران، ۲۰۱۰). از آنجا که تصاویر انتخاب شده مربوط به سال‌های گذشته هستند، به منظور اطمینان از گزینش صحیح نقاط برای اطمینان از پایداری از بیش از ۱۶ سال نمونه‌های تعلیمی مورد تأیید بومیان منطقه استفاده گردید (سفیانیان، ۲۰۰۹). به این ترتیب که نمونه‌های تعلیمی‌ای که دارای ثبات کاربری بیش از ۱۶ سال بودند در صورت تأیید از سوی افراد بومی، در طبقه‌بندی تصاویر مورد استفاده قرار گرفتند. نقشه کاربری اراضی منطقه مطالعاتی با استفاده از روش ماشین‌بردار پشتیبانی^۲ و استفاده از روش تابع کرنل خطی برای هر دوره تهیه گردید. در این مطالعه مقادیر عامل جریمه^۳ و سطح هرم^۴ به صورت خودکار و براساس مقادیر قراردادی نرم‌افزار ENVI4.7 به ترتیب ۱۰۰ و ۰ در نظر گرفته شد (آرخی و ادیب‌نژاد، ۲۰۱۱).

یوسفی و همکاران، ۲۰۱۱.

-
- 1. Global Positioning System
 - 2. Support Vector Machine
 - 3. Penalty Parameter
 - 4. Pyramid Level
 - 5. Radius Curvature
 - 6. River Width
 - 7. Watercourse Length
 - 8. Axis Length
 - 9. Meander Neck Length
 - 10. Sinuosity
 - 11. Paired-samples T test

تغییرات برخی از پارامترهای مورفولوژیکی رودخانه کارون با استفاده از سنجش از دور (سال‌های ۱۳۶۸ و ۱۳۸۴)

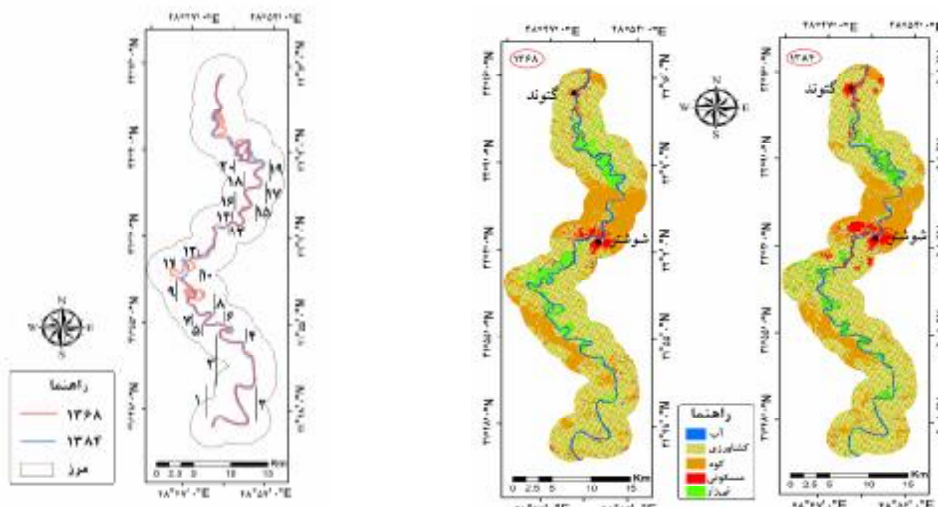
خطی تهیه گردید (شکل ۳). به کمک نقشه‌های کاربری اراضی تهیه شده برای هر دوره، رودخانه از نقشه استخراج گردید (شکل ۴) و پارامترهای مورد بررسی برای هر دوره اندازه‌گیری شد و تغییرات مثاندرها در طول سال‌های ۱۳۶۸ تا ۱۳۸۴ مورد آنالیز قرار گرفت. چندین نمونه از مثاندرهای مطالعاتی و تغییرات پارامترهای آنها در شکل ۵ ارائه شه است.

۳- نتایج و بحث

اصلاحات هندسی تصاویر پس از به کار گیری روش ناپارامتری چندجمله‌ای و حذف نقاط نامناسب، با تعداد ۲۹ نقطه کنترل زمینی و میزان خطای ریشه مربعت ۰/۳۴ پیکسل صورت گرفت. نقشه کاربری اراضی سال‌های ۱۳۶۸ و ۱۳۸۴ پس از انتخاب نمونه‌های تعليمی در کاربری‌های اراضی جداگانه (جدول ۱) با استفاده از الگوریتم ماشین بردار پشتیبان وتابع کرناال

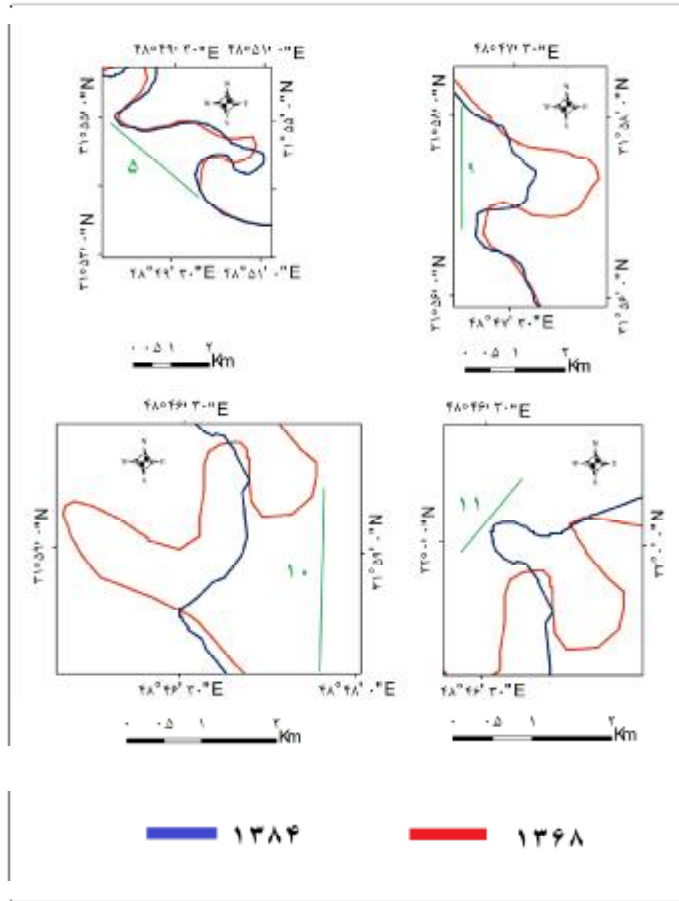
جدول ۱. مشخصات نمونه‌های تعليمی

کاربری اراضی	تعداد نمونه تعليمی	طبقه‌بندی (هکتار)	ارزیابی (هکتار)	طبقه‌بندی (پیکسل)	ارزیابی (پیکسل)	نمونه تعليمی
نیزار	۸۶	۱۷/۲۶	۴۱/۴۸	۴۶۰	۱۹۲	
کشاورزی	۲۰۷	۱۳۷/۵۷	۴۶۹/۴	۵۲۱۵	۱۵۲۸	
مسکونی	۴۸	۶/۱۶	۶/۱۶	۶۸	۲۰	
آب	۳۹	۶/۳	۱/۷	۷۰	۱۸	
کوه	۱۱۲	۱۴۵/۷	۴۰/۳	۱۶۱۸	۴۴۷	



شکل ۴. رودخانه و مثاندرهای مطالعاتی

شکل ۳. نقشه کاربری اراضی سال‌های ۱۳۶۸ و ۱۳۸۴



شکل ۵. تغییرات مسیر مثاندر شماره ۹ بالا سمت راست، شماره ۵ بالا سمت چپ،
شماره ۱۱ پایین سمت راست و شماره ۱۰ پایین سمت راست.

متغیرهای مورفولوژیک مورد مطالعه هر مثاندر از قبیل شعاع انحنای (R)، عرض جریان (W)، طول جریان (S)، طول محور (A)، طول گردن مثاندر (L) و ضربی خمیدگی (C) مثاندر با استفاده از رابطه $C=S/L$ در محیط نرمافزار 2009 AUTOCAD و Arc GIS9.3 تهیه گردید (جدول ۳).

تغییرات پارامترهای مثاندر رودخانه کارون با استفاده از آزمون t جفتی بررسی گردید، که نتایج آن در جدول ۴ آرائه شده است.

به منظور ارزیابی نقشه‌های کاربری اراضی تهیه شده، از نمونه‌های تعلیمی اختصاص داده شده برای صحت طبقه‌بندی استفاده گردید و نهایتاً ضرایب کاپا و صحت کلی برای ارزیابی محاسبه شد (جدول ۲). صحت طبقه‌بندی تصاویر سال ۱۳۸۴ در مقایسه با تصاویر سال ۱۳۶۸ دارای دقت بالاتری است، که علت آن را می‌توان نزدیک بودن زمان تصویربرداری با زمان مشخص ساختن نمونه‌های تعلیمی نسبت به تصاویر قدیمی‌تر دانست.

تغییرات برخی از پارامترهای مورفولوژیکی رودخانه کارون با استفاده از سنجش از دور (سال‌های ۱۳۶۸ و ۱۳۸۴)

جدول ۲. ضرایب ارزیابی صحت طبقه‌بندی به روش نقاط کنترل زمینی

سال طبقه‌بندی	ضرایب کاپا	صحت کلی
۸۸/۱۸	۰/۷۸۷۶	۱۳۶۸
۹۴/۵۱	۰/۸۹۳۷	۱۳۸۴

جدول ۳. پارامترهای اندازه‌گیری شده مئاندر بر روی تصاویر سال‌های ۱۳۶۸ و ۱۳۸۴

۱۳۸۴							۱۳۶۸						
C	S (کیلومتر)	L (کیلومتر)	A (کیلومتر)	R (کیلومتر)	W (متر)	C	S (کیلومتر)	L (کیلومتر)	A (کیلومتر)	R (کیلومتر)	W (متر)	شماره	
۲/۰۴	۱۰/۴۲	۵/۱	۳/۹۴	۱/۸۵	۱۷۳	۱/۸۹	۳/۳۱	۵/۴۴۴	۴/۱۳	۱/۶	۲۵۳	۱	
۱/۵۳	۸/۵۱	۵/۵۸	۳/۱۷	۱/۲۳	۱۵۳	۱/۵۴	۸/۳۱	۵/۴	۳/۲	۱/۴۱	۲۱۷	۲	
۱/۶۷	۱۴/۰۹	۸/۶۳	۳/۰۸	۴/۶۵	۱۷۲	۱/۶۸	۱۲/۲۳	۷/۸۷	۳/۲۳	۴/۴۷	۲۲۱	۳	
۲/۷۱	۶/۲۳	۲/۳	۲/۱۴	۱/۳۶	۱۱۲	۲/۰۴	۵/۶۳	۲/۷۶	۲/۱	۱/۲۴	۱۵۲	۴	
۳/۰۲	۷/۵۱	۲/۴۹	۲/۵۷	۲/۰۵	۱۷۱	۲/۱۷	۶/۳۹	۲/۹۴	۲/۸۷	۱/۷۹	۲۱۴	۵	
۲/۱۷	۵/۱۲	۲/۳۶	۱/۴۵	۰/۵۶	۱۷۳	۱/۱۵	۴/۰۵	۲/۵۳	۱/۸۲	۰/۳۶	۲۱۸	۶	
۳/۱۰	۴/۳۷	۱/۴۱	۱/۲۶	۰/۵۷	۱۷۴	۱/۳۲	۳/۲۵	۲/۴۶	۱/۵۶	۰/۵۱	۱۹۶	۷	
۱/۸۲	۶/۷۴	۳/۷	۲/۲۱	۱/۶۵	۱۸۸	۲/۲۶	۷/۴۵	۳/۳	۲/۱	۱/۹۲	۱۹۰	۸	
۱/۵۶	۵/۱۸	۳/۳۲	۲/۴۲	۱/۱۱	۲۱۲	۱/۷۸	۹/۵۶	۵/۳۸	۱/۵۸	۲/۵۷	۱۷۹	۹	
۱/۴۴	۴/۹۷	۳/۴۶	۴/۱۷	۰/۶۶	۲۴۳	۳/۰۶	۱۱/۷۶	۳/۸۴	۱/۴	۱/۹۵	۱۸۷	۱۰	
۱/۳۲	۳/۷۰	۲/۸۱	۱/۱	۱/۱۶	۱۵۴	۱/۳۶	۳/۴۸	۲/۵۶	۰/۸۶	۰/۴۱	۱۶۸	۱۱	
۳	۳/۵۱	۱/۱۷	۱/۸۳	۰/۴۴	۲۱۵	۱/۹۰	۳/۴۵	۱/۸۲	۱/۱۵	۰/۴۵	۱۸۵	۱۲	
۲/۲۸	۳/۸۵	۱/۶۹	۱/۲۳	۰/۶۹	۱۳۸	۲/۰۱	۳/۵۸	۱/۷۸	۱/۳۷	۰/۷۵	۱۷۱	۱۳	
۱/۲۹	۳/۶۵	۲/۸۳	۱/۰۱	۰/۶۲	۱۷۳	۱/۴۰	۳/۸۳	۲/۷۳	۱/۱۵	۰/۶۹	۱۴۱	۱۴	
۱/۳۳	۴/۷۹	۳/۶۱	۱/۳۴	۰/۸۶	۲۰۱	۱/۳۷	۵/۰۱	۳/۶۶	۱/۳۶	۰/۶۱	۲۴۸	۱۵	
۱/۶۰	۵/۴۸	۳/۴۲	۱/۷۱	۱/۰۱	۱۶۸	۱/۵۱	۵/۳۰	۳/۵۲	۱/۸۲	۰/۸۹	۱۷۵	۱۶	
۱/۷۶	۴/۸۵	۲/۷۵	۱/۵۴	۰/۹۴	۹۷	۱/۵۲	۴/۹۴	۲/۲۴	۱/۴۵	۰/۷۸	۱۳۲	۱۷	
۱/۴۶	۴/۰۱	۲/۷۵	۰/۹۴	۰/۶۳	۱۵۸	۱/۱۹	۳/۸۱	۳/۲	۱/۱۳	۰/۵۰	۲۰۰	۱۸	
۱/۹۷	۴/۲۲	۳/۱۶	۲/۰۵	۰/۹۳	۲۵۳	۱/۸۱	۵/۳۰	۲/۹۳	۲/۵۶	۰/۸۶	۲۶۷	۱۹	
۱/۷۱	۸/۰۶	۴/۷	۲/۲۲	۲/۱	۱۷۰	۱/۶۱	۷/۳۹	۴/۵۹	۲/۶۰	۱/۸۰	۱۷۲	۲۰	

جدول ۴. نتایج آنالیز آزمون t جفتی برای پارامترهای مئاندر

پارامتر مئاندر	میانگین	انحراف از معیار	t مقدار	درجه آزادی	Sig.
L	۰/۲۹۵۷	۰/۶۱۴۴	۲/۱۵۲	۱۹	۰/۱۴۴*
S	۰/۲۳۸۵	۱/۹۳۳۶	۰/۵۵۲	۱۹	۰/۵۸۸
W	۱۹/۹	۳۶/۲۰۱	۲/۴۵۸	۱۹	۰/۰۲۴*
C	-۰/۲۱۰۵	۰/۶۸۲۷	-۱۳۷۹	۱۹	۰/۱۸۴
R	۰/۰۲۴۵	۰/۵۰۷۵	۰/۲۱۶	۱۹	۰/۸۳۱
A	۰/۰۹۷	۰/۷۱۰۸	۰/۶۱۰	۱۹	۰/۵۴۹

طول گردن مئاندر (L)، طول جریان (S)، عرض جریان (W)، ضریب خمیدگی (C)، شعاع انحدار (R) و طول محور (A)

جدول ۵. نتایج حاصل از همبستگی پیرسون بین تغییرات پارامترهای مئاندر

A	S	L	W	R	C	نمایه آماری	پارامتر مئاندر
					r ¹		
					1	r ¹	C
						Sig.	
					.+/Δ1*	r	
					.+/0.22	Sig.	R
					-./0.160	r	
					.+/0.005	Sig.	W
					-./0.219	r	
					.+/0.253	Sig.	L
					.+/0.227	r	
					.+/0.159	Sig.	S
					.+/0.191**	r	
					.+/0.219	Sig.	A
					.+/0.354	r	
					.+/0.002	Sig.	
					.+/0.000		
					.+/0.000		
					.+/0.000		
					.+/0.000		

* به ترتیب معنی دار در سطح ۱ و ۵ درصد، ضریب خمیدگی (C)، شعاع انحنای (R)، عرض جریان (W)، طول گردان مثاند (L)، طول جریان (S)، طول محور (A)، ضریب همبستگی (τ) و سطح معنی داری (Sig.).

جريان با پارامترهای طول جریان و طول محور مئاندر در سطح معنی داری ۱ درصد وجود دارد. همچنین طول جریان دارای همبستگی معنی داری در سطح ۱ درصد با محو، مئاندر، است.

نتایج نشان می‌دهد که رابطه مستقیمی بین تعییرات شعاع انحنا با تعییرات ضریب خمیدگی، طول مثاندر، طول جریان آب و طول محور مثاندر وجود دارد؛ به طوری که تعییر در شعاع انحنا سبب بزرگ‌تر شدن قوس داخلی مثاندر می‌شود و در نتیجه طول جریان آب، طول گردن مثاندر و طول محور مثاندر افزایش می‌یابد. با توجه به رابطه تعیین ضریب خمیدگی، افزایش این پارامترها مقدار ضریب خمیدگی مثاندر را افزایش می‌دهد. همچنین این یافته‌ها نشان می‌دهد که تعییرات عرض جریان رابطه عکس با تعییرات طول جریان و طول محور مثاندر دارد؛ به

با توجه به جدول ۴ در دو دوره مطالعاتی ۱۳۶۸ و ۱۳۸۴ اختلاف معنی داری بین طول گردن مئاندر و عرض جریان در سطح معنی داری ۵ درصد در دو دوره مذکور وجود دارد، ولی بین مقدار شعاع انحنا، طول جریان، ضریب خمیدگی و طول محور مئاندر در دو دوره مذکور اختلاف معنی داری مشاهده نمی شود. به منظور بررسی تأثیر تغییرات پارامترهای مئاندر بر یکدیگر از همبستگی پیرسون استفاده گردید؛ بدین ترتیب که اختلاف بین پارامترهای مورد مطالعه در هر مئاندر تعیین و همبستگی بین آنها محاسبه شد (جدول ۵). نتایج همبستگی نشان می دهد که همبستگی معنی داری بین تغییرات ضریب خمیدگی با شعاع انحنا، طول جریان و طول محور مئاندر به ترتیب در سطح معنی داری ۱، ۱ و ۱ درصد و همبستگی معنی داری بین تغییرات شعاع انحنا با طول جریان، طول محور مئاندر، طول گردن مئاندر و عرض جریان به ترتیب در سطح معنی داری ۰.۵، ۰.۵ و ۰.۵ درصد وجود دارد. همچنین همبستگی معنی داری بین تغییرات عرض

1. Correlation Coefficient

درآمده و قسمتی از رودخانه به صورت برکه‌های شاخ گاوی^۱ جدا شده است. یافته‌های تحقیق حاضر با نتایج رضایی مقدم و خوشدل (۲۰۰۹) و مقصودی و همکاران (۲۰۱۰)، که به افزایش ضریب خمیدگی طی زمان اشاره کرده‌اند، مطابقت دارد و همچنین با مطالعات بین و همکاران (۲۰۰۸)، چو و همکاران (۲۰۰۶) و الرو (۲۰۱۰) که علت تغییرات پارامترهای مثاندرها را تجاوز انسان به حریم آنها و در نتیجه افزایش حساسیت‌پذیری قوس‌های بیرونی مثاندر دانستند همخوان است.

۴- منابع

- Ahmadian Yazdi, M.J., 2001, **A Study on Vegetation Role in Erosion Control of Tajan-Harirroud Meander**, M.Sc. Thesis, Watershed Management, Gorgan University of Agricultural Sciences and Natural Resources, PP. 79.
- Arekhi, S. and M., Adibnejad, 2011, **Efficiency Assessment of the of Support Vector Machines for Land Use Classification Using Landsat ETM+ data (Case study: Ilam Dam Catchment)**, Iranian Journal of Range and Desert Research, 18(3): 421-443.
- Arshad, S., S. Morid and H. Mir Abolghasemi, 2008, **Assessing the Trend of Morphologic Changes of Rivers Using Remote Sensing (Case study: Karun river between Gotvand and Farsiat)**, Journal of Agricultural Sciences and Natural, Resources, 14(6):17-32.
- Bayat Khatibi, M., 2011, **Investigation on Potential of Flood Occurrences on Length of Meandering Rivers by Using of LFH**

1. Oxbow Lake

طوری که در مناطقی که کشاورزی تا نزدیکی مناطق نیزار بوده با توجه به تجاوز به حریم رودخانه عرض رودخانه کاهش یافته است و در نتیجه حجم یکسانی از دبی در مقطعی کوچک‌تر مجبور به عبور از رودخانه با سرعت بیشتر می‌شود. افزایش سرعت آب سبب افزایش قدرت آب، کنش بیشتر و در نتیجه افزایش طول جریان می‌شود، به طوری که طول محور مثاندر نیز بیشتر می‌گردد. طول محور مثاندر نشان‌دهنده نوسانات عرضی مثاندر است. درواقع A نتیجه اثر وسیع ویژگی‌های سنگ بستر، موقعیت هیدرولوژیکی رودخانه و دستکاری در بستر رودخانه است. اگر طول دهانه مثاندر (L) ثابت بماند، شعاع انحنای مثاندر در طول زمان افزایش می‌یابد و در نتیجه ضریب خمیدگی مثاندر نیز بالا می‌رود. با توجه به بازدهی‌های صورت گرفته از منطقه و بررسی نقشه‌های تهیه شده کاربری اراضی سال‌های ۱۳۶۸ و ۱۳۸۴، منطقه مطالعاتی رودخانه - بهویشه در بستر سیالابی - مورد تجاوز انسان قرار گرفته که با شدت بیشتری در مثاندرهای ۸ تا ۱۳ مشاهده می‌شود و سبب از بین رفتن مناطق نیزار و تبدیل آنها به اراضی کشاورزی شده است. افراد ساکن در منطقه به دلیل مناسب بودن اراضی اطراف رودخانه، بهخصوص سواحل آبرفتی و نیزارهای منطقه، اقدام به شخم زدن زمین و تغییر کاربری منطقه به کشاورزی کرده‌اند. در محدوده مطالعاتی مساحت کاربری‌های نیزار، پهنه آبی و اراضی لخت به ترتیب دارای کاهش ۳۵۱ و ۲۶۲ هکتاری بوده‌اند و در مقابل، کاربری‌های کشاورزی و مسکونی به ترتیب به میزان ۵۲۲ و ۳۰۴ هکتار افزایش یافته‌اند شخم زدن زمین و از بین بردن پوشش گیاهی طبیعی رودخانه به سمت شدن خاک و در نتیجه تخریب بیشتر - بهخصوص در قوس‌های بیرونی مثاندرهای رودخانه - انجامیده است. به طور کلی در منطقه مورد مطالعه، مثاندرها تکامل یافته‌تر و وسیع‌تر گشته‌اند. با توجه به نتایج مطالعه، در مثاندرهای کاهش ضریب خمیدگی وجود دارد - مانند مثاندرهای شماره ۹، ۱۰ و ۱۱ - عمدهاً مسیر به صورت مستقیم

- Case Study: Shor River (located on East slope of Sahand Mt.), Physical Geography Research Quarterly, 75:1-18.**
- Bighamta, M.R. and M.A., Zare Chahouki, 2010, **Principle Statistics in Natural Resources, Tehran University Press**, 300p.
- Bin Z., Nanshan A., Zhengweng H., Chengbo Y., Facao Q., 2008, **Meanders of the Jialing River in China: Morphology and Formation**, Chinese Science Bulletin, 53(2): 267-281.
- Cabezas, A., Comín, F.A., Beguería, S., Trabucchi, M., 2008, **Hydrologic and Land-use Change Influence Landscape Diversity in the Ebro River (NE Spain)**, Hydrology and Earth System Sciences Discussion, 5, 2759–2789.
- Camporeale C., Ridolfi L., 2010, **Interplay Among River Meandering, Discharge Stochasticity and Riparian Vegetation**, Journal of Hydrology, 382 (1–4): 138–144.
- Chu Z.X., Sun G., Zhai S.K., Xu K.H., 2006, **Changing Pattern of Accretion/erosion of the Modern Yellow River (Huanghe) Sub Aerial Delta China: based on Remote Sensing Images**, Marine Geology, 227: 13-30.
- Crosato A., 2009, **Physical explanations of variations in river meander migration rates from model comparison**, Earth Surface Processes and Landforms, 34(15): 2078–2086.
- Dai S.B., Yang S.L., Cai A.M., 2008, **Impacts of Dams on the Sediment Flux of the Pearl River**, Southern China. Catena, 76: 36–43.
- Farokhi, Z., Barani, Gh.A. and S., Arshad, 2005, **A Study on Dez River Plan by Using RS and GIS**, 5th Iranian Hydraulic Conference, Shahid Bahonar University of Kerman, 1-9.
- Giriraj, A., Ullah, M.I., Murthy, M.R., and Beierkuhnlein, C., 2008, **Modelling Spatial and Temporal Forest Cover Change Patterns (1973-2020): A Case Study from South Western Ghats (India)**, Sensors, 8: 6132-6153.
- Heo J., Duc T.A., Cho H.S., Choi S.U., 2009, **Characterization and Prediction of Meandering Channel Migration in the GIS Environment: A Case Study of the Sabine River in the USA**, Environmental Monitoring and Assessment, 152 (1–4): 155–165.
- Imran J., Parker G., Pirmez C., 1999, **A Nonlinear Model of Flow in Meandering Submarine and Sub Aerial Channels**, Journal of Fluid Mechanics, 400: 295–331.
- Lagasse P.F., Spitz W.J., Zevenbergen L.W., Zachmann D.W., 2004., **Handbook for Predicting Stream Meander Migration**, Report 533, Washington, DC, USA.
- Lofthouse C., Robert A., 2008, **Riffle-pool Sequences and Meander Morphology**, Geomorphology, 99: 214–223.
- Magdaleno F., Fernandez-Yuste J.A., 2011, **Meander Dynamics in a Changing River Corridor**, Geomorphology, 130: 197–207.
- Maghsodi, M., Sharifi, S. and Y., Maghami, 2010, **The Pattern of Morphological Changes of River Khorramabad Using**

- RS, GIS and Auto Cad, Landscape Planning and Preparation**, 14 (3): 275-294.
- Mohammadi Ostad Kalayeh, A., Mosaedi, A. and S., Alaghmand, 2007, **Effects of East-Golestan August 2001 Flood on the Morphology of Madarsoo River**, Journal of Science and Technology of Agriculture and Natural Resources, Water and Soil Science, 14(1): 22-30.
- Nicoll T.J., Hickin E.J., 2010, **Planform Geometry and Channel Migration of Confined Meandering Rivers on the Canadian Prairies**, Geomorphology, 116: 37–47.
- Ollero, A., 2010, **Channel Changes and Floodplain Management in the Meandering Middle Ebro River**, Spain, Geomorphology, 117: 247–260.
- Ollero, A., Pellicer, F., 1991, **Middle Ebro River Channel and Floodplain: Geomorphology**, Recent Changes, Risks and Management on a Fluvial System of Free Meanders. In: Sala, M., Rubio, J.M., García Ruiz, J.M. (Eds.), Soil Erosion Studies in Spain. Geoforma, Logroño, Spain, PP. 203–210.
- Perucca E., Camporeale C., Ridolfi L., 2006, **Influence of River Meandering Dynamics on Riparian Vegetation Pattern Formation**, Journal of Geophysical Research-Biogeosciences, 111: 1–10.
- Perumal, K., Bhaskaran, R., 2010, **Supervised Classification Performance of Multispectral Images**, Journal of Computing, 2 (2): 124-129.
- Rangzan, K., Salehi, B., Salahshori, P., 2008, **A Study on Downstream Variations of Karkheh Dam After and Before Dam Building by Using Landsat Images**, First Iranian Geomatics Symposium, PP. 1-11.
- Rezaei Moghaddam, M.H. and K., Khoshdel, 2009, **A Research on Sinuosity of Ahar Chay Meanders in Ozomdel Plain, Varzeghan, East Azerbaijan, Iran**, Geography and Environmental Planning, 20(33): 101-112.
- Soffianian, A., 2009, **A Study on Land Use Change in Isfahan Using Change Vector Analysis (CVA) Technique**, Journal of Science and Technology of Agriculture and Natural Resources, Water and Soil Science, 13(49): 153-164.
- Timer G., 2003, **Controls on Channel Sinuosity Changes, A Case Study of the Tisza River, the great Hungarian plain**, Quaternary Science Reviews, 22, P. 2206.
- Uribelarrea D., Perez-Gonzalez A., Benito G., 2003, **Channel Changes in the Jarama and Tagus Rivers (central Spain) over the Past 500 Years**, Quaternary Science Reviews, 22: 2209–2221.
- Yamani, M., Hoseinzadeh, M. and A., Nohegar, 2006, **Talar and Babol Rivers Hydrodynamic and Its Role in Instability and Changes of Their Geometrical Characteristics**, Geography Research, 55: 15-33.

- Yang, X., Damen, M.C.J. and van Zuidam, R. A., 1999, **Satellite Remote Sensing and GIS for the Analysis of Channel Migration Changes in the Active Yellow River Delta**, China. International Journal of Applied Earth Observation and Geoinformation, 1(2), 146-157.
- Yousefi S., Tazeh M., Mirzaee S., Moradi H.R., and Tavangar Sh., 2011, **Comparison of Different Classification Algorithms in Satellite Imagery to Produce Land Use Maps (Case Study: Noor city)**, Journal of Applied RS & GIS Techniques in Natural Resource Science, 2(2): 15-25.